

ANÁLISE E ESTUDO DE CONTROLADORES NO FORMATO RST PARA APLICAÇÃO NO ESTUDO DIDÁTICO DO CONTROLE DE PROCESSOS

Luiz D. S. Bezerra

IFCE – Instituto Federal de Educação Ciência e Tecnologia do Ceará, Campus Maracanáu
danielbezerra@ifce.edu.br

Abstract— Este trabalho apresenta os resultados teórico e experimentais da realização de controladores discretos sob o formato RST. Este formato é de fácil compreensão, que leva a soluções de forma rápida e obtenção dos parâmetros desejados para a planta em malha fechada, sem que ocorra a introdução dos zeros dominantes do controlador no modelo de malha fechada. Neste trabalho é apresentado o procedimento de discretização teórica e identificação de uma filtro Sallen Key de segunda ordem como planta-objeto a ser controlado.

Index Terms—PID, RST, Sallen-Key.

I. INTRODUÇÃO

Dentre os numerosos métodos de projeto de controladores discretos para sistemas lineares SISO, a RST é uma metodologia de alocação de pólos de considerável elegância empregando a solução da equação Diophantina. Em trabalhos iniciais para o emprego da forma RST, os autores lidam com rejeição dos distúrbios de baixa frequência, através do emprego de filtros polinomiais, e, também, garantem o rastreamento em malha fechada com ganho unitário, para referências constantes [1], [2]. Este artigo lida com alguns objetivos principais, os quais dividem o mesmo:

- Determinação de um modelo discreto para o filtro Sallen-Key de 2ª ordem através da discretização da função de transferência;
- Determinação de um modelo discreto para o filtro Sallen-Key de 2ª ordem através de processo de identificação (ferramenta *Ident* do Matlab);
- Adoção de um modelo (passos 1 e 2) para ser utilizado no projeto de controladores de acordo com:
- PID discreto com os resultados de testes de controle em malha-fechada, e resultados da resposta ao degrau;
- Método por posicionamento de pólos, empregando o termo $T(q^{-1}) = R(1)$, com resultados dos testes do controle em malha fechada, com resposta ao degrau e resposta em frequência;
- Método por posicionamento de pólos com rastreamento e regulação independentes, com resultados dos testes do controle em malha fechada, com resposta ao degrau e resposta em frequência.

Assim, a metodologia por alocação de pólos e com o PID clássico serão comparadas.

II. FILTRO SALLEN-KEY DE SEGUNDA ORDEM

O filtro Sallen-Key é visualizado na Fig. 1.

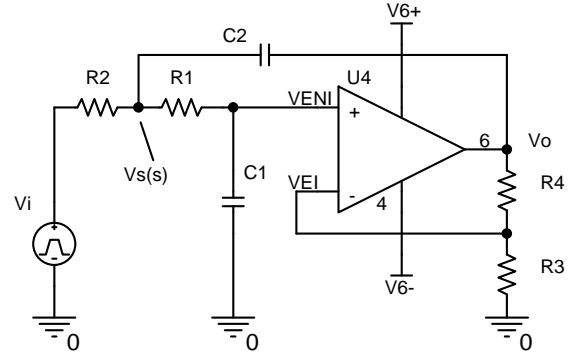


Fig. 1 – Diagrama esquemático de um filtro Sallen-Key de segunda ordem com os principais componentes envolvidos.

A função de transferência entre a entrada (V_i) pela saída (V_o) é expressa através da expressão:

$$G_p(s) = \frac{V_o(s)}{V_i(s)} = K_G \frac{\omega_n^2}{\omega_n^2 + 2\zeta\omega_n \cdot s + s^2} \quad (1)$$

Na qual os termos ω_n , ζ e K_G , são dados pelas expressões abaixo:

$$\omega_n = \sqrt{\frac{1}{C_1 C_2 R_1 R_2}} \quad (2)$$

$$\zeta = \frac{\frac{1}{C_2 R_2} + \frac{1}{C_2 R_1} + \frac{1 - K_G}{C_1 R_1}}{2\omega_n} \quad (3)$$

$$K_G = 1 + \frac{R_4}{R_3} \quad (4)$$

Empregando os valores: $R_1 = 1\text{k}\Omega$, $R_2 = 1,5\text{k}\Omega$, $R_3 = 1\text{k}\Omega$, $R_4 = 1,45\text{k}\Omega$, $C_1 = 0,5\mu\text{F}$ e $C_2 = 0,5\mu\text{F}$, a resposta em frequência da planta é obtida na Fig. 1. A frequência natural do sistema é de

$$\omega_n = 1633 \text{ rad/s} \triangleq 259,89 \text{ Hz} \quad (5)$$

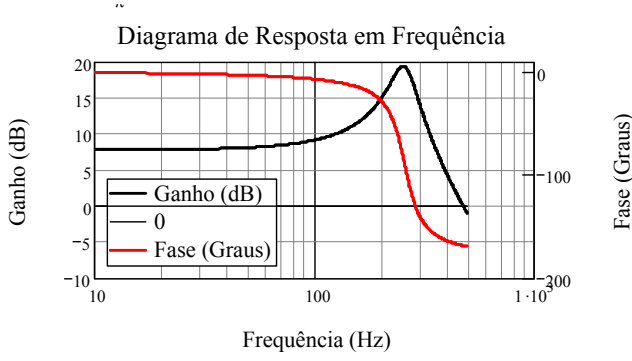


Fig. 2 – Diagrama da resposta em frequência para o filtro Sallen-Key de segunda ordem com os principais componentes envolvidos.

Para a discretização deste modelo é adotada uma frequência de amostragem de :

$$f_s = 20kSPS \triangleq T_s = 50\mu s \quad (6)$$

Observar que esta ordem de grandeza é maior que seis vezes a frequência natural do sistema.

III. FILTRO SALLEN-KEY DE SEGUNDA ORDEM DISCRETIZADO

Empregando a taxa de amostragem na equação (6), e, o amostrador de ordem zero (ZOH), o modelo discretizado da planta é visualizado na equação (8):

$$G_{Pd}(z) = (1 - z^{-1}) \mathbf{Z} \left\{ \mathbf{L}^{-1} \left[\frac{G_p(s)}{s} \right] \right\} \quad (7)$$

$$G_{Pd}(z) = \frac{0,008104z^{-1} + 0,008045z^{-2}}{1 - 1,972z^{-1} + 0,9786z^{-2}} \quad (8)$$

Logo, a resposta em frequência do sistema discretizado é visualizado na Fig. 3.

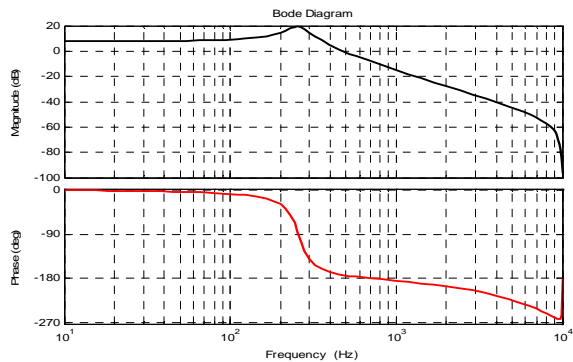


Fig. 3 – Diagrama da resposta em frequência para o filtro Sallen-Key de segunda ordem, discretizado, através do segurador de ordem zero.

A próxima secção exhibe o sistema obtido experimentalmente e identificado através da resposta ao degrau e com a ferramenta *Ident*.

IV. FILTRO SALLEN-KEY DE SEGUNDA ORDEM OBTIDO ATRAVÉS DE IDENTIFICAÇÃO

O circuito empregado experimentalmente é visualizado na Fig. 4.

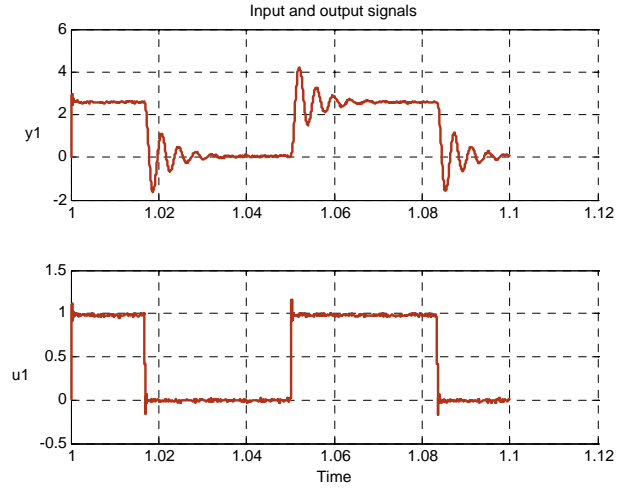


Fig. 4 – Circuito concebido experimentalmente para obtenção da identificação através da ferramenta *ident* do software Matlab®, e sinais de saída (y1) e entrada (u1) obtidos através do osciloscópio.

Com o emprego da ferramenta *ident*, é adotado dois modelos de identificação iterativos, de ordem 2 para os polinômios $A(q^{-1})$ e $B(q^{-1})$, com um atraso e sem atraso, concebendo os modelos iv221 e iv220, cujas saídas são comparadas ao sinal original, visualizados na Fig. 5.

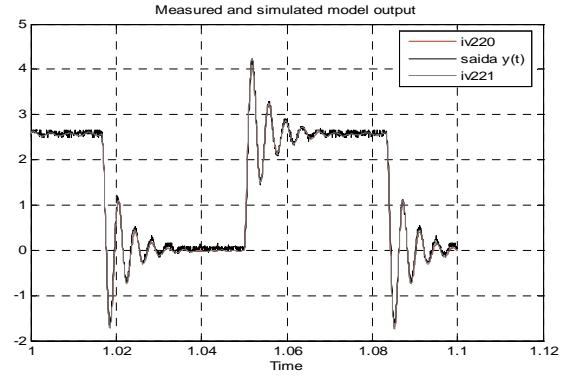


Fig. 5 – Resultados dos modelos identificados pela ferramenta *ident* do software Matlab®, a saída original da planta experimental está em escuro, e dois modelos foram identificados por iv220 e iv221.

As funções de transferência para os modelos iv220, e iv221, são apresentadas a seguir:

$$G_{iv220}(z) = \frac{0,03028z^{-1} - 0,0135z^{-2}}{1 - 1,971z^{-1} + 0,9774z^{-2}} \quad (9)$$

$$G_{iv221}(z) = \frac{0,03943z^{-1} - 0,02246z^{-2}}{1 - 1,972z^{-1} + 0,9783z^{-2}} \quad (10)$$

Com os modelos obtidos, é possível determinar o controlador PID discreto para o controle das plantas, que é visualizado na próxima secção.

V. ESPECIFICAÇÕES DAS DINÂMICAS DESEJADAS PARA O FILTRO SALLEN-KEY DE SEGUNDA ORDEM EM MALHA FECHADA

As especificações de tempo de subida, e máximo de overshoot, para a resposta ao degrau da planta + controlador, são visualizadas abaixo:

$$t_{rise} = 5ms \quad (11)$$

$$Max_{over} = 5\% \quad (12)$$

Estas especificações levam a uma função de transferência característica de segunda ordem, desejados, e sob o formato contínuo, e sob o formato discreto:

$$G_{desejado}(s) = \frac{186 \cdot 10^3}{s^2 + 596,3s + 186 \cdot 10^3} \quad (13)$$

$$G_{desejado}(z) = \frac{0,0002302z + 0,0002279}{z^2 - 1,97z + 0,9706} \quad (14)$$

$$\triangleq \frac{0,0002302z^{-1} + 0,0002279z^{-2}}{1 - 1,97z^{-1} + 0,9706z^{-2}}$$

$$G_{desejado}(z) = 10^{-3} \frac{0,2302 \cdot z + 0,2279}{(z - p_1) \cdot (z - p_2)} \quad (15)$$

$$p_{1,2} = 0,9851 \pm j0,0153$$

Assim, o controlador deverá posicionar os pólos dominantes de malha fechada expressos na equação (15).

VI. CONTROLADOR PID PARA O FILTRO SALLEN-KEY DE SEGUNDA ORDEM

A estrutura do controlador PID é apresentada na Fig. 6:

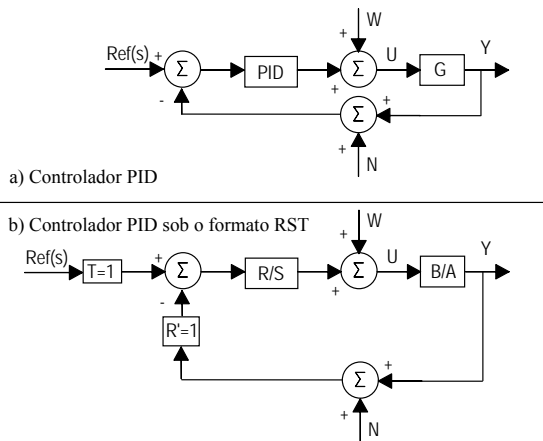


Fig. 6 – Estrutura do controlador por PID, com os zeros do controlador (polinômio R) distribuídos nos ramos da referência e da re-alimentação, com introdução aos ruídos de amostragem - $N(z^{-1})$, e ruído de sinal de controle - $W(z^{-1})$.

O controlador PID contínuo é apresentado na expressão (16):

$$PID(s) = K \left(1 + \frac{1}{sT_i} + \frac{T_d}{1 + sT_dN^{-1}} \right) \quad (16)$$

O termo K representa o ganho proporcional, T_i é a

constante de tempo integral, T_d é a constante de tempo do termo derivativo e T_d/N é uma ação de filtragem.

A função de transferência do controlador PID discreto, considerando um período de amostragem T_s , é expressa por:

$$PID(z^{-1}) = \frac{R(z^{-1})}{S(z^{-1})} = \frac{r_0 + r_1 z^{-1} + r_2 z^{-2}}{(1 - z^{-1})(1 + s'_1 z^{-1})} \quad (17)$$

$$= \frac{r_0 + r_1 z^{-1} + r_2 z^{-2}}{1 + s_1 z^{-1} + s_2 z^{-2}}$$

Os termos, r_0, r_1, r_2, s_1, s_2 e s'_1 , relacionados ao formato do controlador PID contínuo, são expressos nas equações (18)-(21):

$$s'_1 = -\frac{T_d}{T_d + NT_s} \quad (18)$$

$$r_0 = K \left(1 + \frac{T_s}{T_i} - N \frac{T_s}{T_d} s'_1 \right) \quad (19)$$

$$r_1 = K \left[s_1 \left(1 + \frac{T_s}{T_i} + 2N \frac{T_s}{T_d} \right) - 1 \right] \quad (20)$$

$$r_2 = -Ks_1 \left(1 + N \frac{T_s}{T_d} \right) \quad (21)$$

Analisando a função de transferência em malha fechada para a planta descrita na Fig. 6:

$$H_{Malha.fechada}(z^{-1}) = \frac{B(z^{-1})R(z^{-1})}{A(z^{-1})S(z^{-1}) + B(z^{-1})R(z^{-1})} \quad (22)$$

$$= \frac{B(z^{-1})R(z^{-1})}{P(z^{-1})} = \frac{B(z^{-1})(r_0 + r_1 z^{-1} + r_2 z^{-2})}{P(z^{-1})}$$

O equacionamento para obtenção do posicionamento dos pólos envolve a solução da equação *Diofantina*:

$$A(z^{-1})S(z^{-1}) + B(z^{-1})R(z^{-1}) = P(z^{-1}) \quad (23)$$

De forma que exista a rejeição ao distúrbio do tipo degrau (ou erro estático nulo) é necessário que exista um integrador no ramo direto ($1/S$), logo a igualdade deverá ser mantida:

$$P(z^{-1}) = \overbrace{(1 + a_1 z^{-1} + a_2 z^{-2})}^{A(z^{-1})} \overbrace{(1 - z^{-1})(1 + s'_1 z^{-1})}^{S(z^{-1})} + \overbrace{(b_1 z^{-1} + b_2 z^{-2})}^{B(z^{-1})} \overbrace{(r_0 + r_1 z^{-1} + r_2 z^{-2})}^{R(z^{-1})} =$$

$$= 1 + p_1 z^{-1} + p_2 z^{-2} + p_3 z^{-3} + p_4 z^{-4} \quad (24)$$

Que, leva ao seguinte sistema de equações:

$$\begin{bmatrix} 1 \\ p_1 \\ p_2 \\ p_3 \\ p_4 \end{bmatrix} = \begin{bmatrix} 1 & 0 & 0 & 0 & 0 \\ a'_1 & 1 & b_1 & 0 & 0 \\ a'_2 & a'_1 & b_2 & b_1 & 0 \\ a'_3 & a'_2 & 0 & b_2 & b_1 \\ 0 & a'_3 & 0 & 0 & b_2 \end{bmatrix} \cdot \begin{bmatrix} 1 \\ s'_1 \\ r_0 \\ r_1 \\ r_2 \end{bmatrix} \quad (25)$$

Para o sistema apresentado, com as características desejadas, e, introduzindo dois pólos p_3 e p_4 , alocados na origem, a solução produz os termos do controlador PID, com

os filtros R, S e T, respectivamente:

$$\begin{aligned} S(z^{-1}) &= 1 - 0,5503z^{-1} - 0,4497z^{-2} \\ R(z^{-1}) &= 55,79 - 110,5z^{-1} + 54,7z^{-2} \\ T(z^{-1}) &= R(z^{-1}) \end{aligned} \quad (26)$$

No caso do modelo identificado:

$$\begin{aligned} S(z^{-1}) &= 1 - 2,169z^{-1} + 1,169z^{-2} \\ R(z^{-1}) &= 52,51 - 103,4z^{-1} + 50,89z^{-2} \\ T(z^{-1}) &= R(z^{-1}) \end{aligned} \quad (27)$$

A resposta do controlador associado à planta (8), em malha fechada, com referência do tipo degrau, é visualizado na Fig. 7.

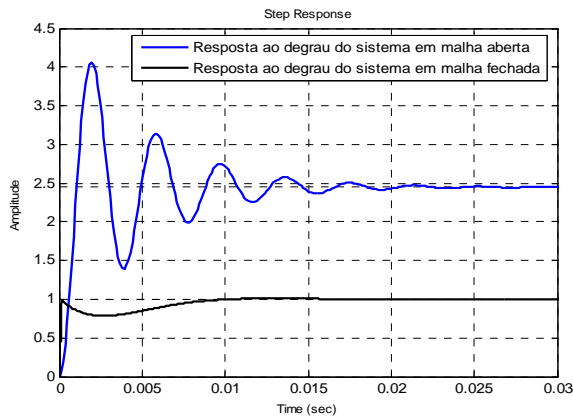


Fig. 7 – Resultados de simulação para o controlador PID discreto. A Forma de onda de azul representa a resposta do sistema em malha aberta e de preto a saída do sistema em malha fechada para entrada do tipo degrau.

Empregando o modelo identificado:

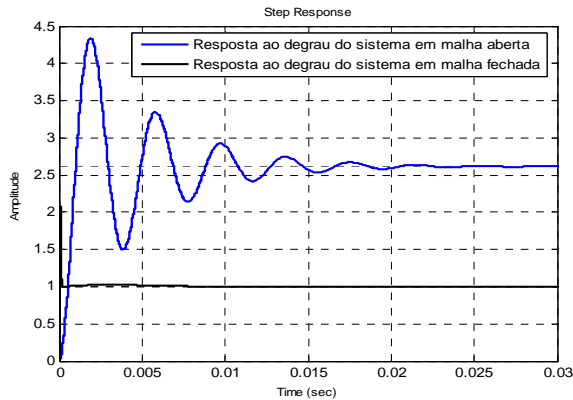


Fig. 8 – Resultados de simulação para o controlador PID discreto com planta identificada. A Forma de onda de azul representa a resposta do sistema em malha aberta e de preto a saída do sistema em malha fechada para entrada do tipo degrau.

Cabe nesta secção, analisar a característica de ruído (N) pelo sinal de saída do controlador U. Esta análise é fundamental para verificar como este controlador irá amplificar erros de re-alimentação, ruídos externos a planta

sob controle, e principalmente, a amplificação da quantização numérica e arredondamento que os conversores A/D possuem.

A função de transferência do sinal de ruído N para a saída do controlador – U, é obtida através da expressão:

$$\frac{U}{N} = \frac{-PID(z^{-1})}{1 + G(z^{-1})} = -\frac{R(z^{-1})A(z^{-1})}{S(z^{-1})A(z^{-1}) + R(z^{-1})B(z^{-1})} \quad (28)$$

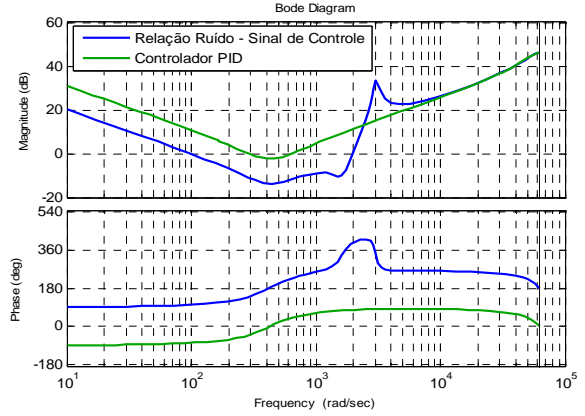


Fig. 9 – Diagrama de resposta em frequência para a relação U/N (ruído – saída do controlador) para o projeto do PID discreto desta secção, e para o controlador PID (verde).

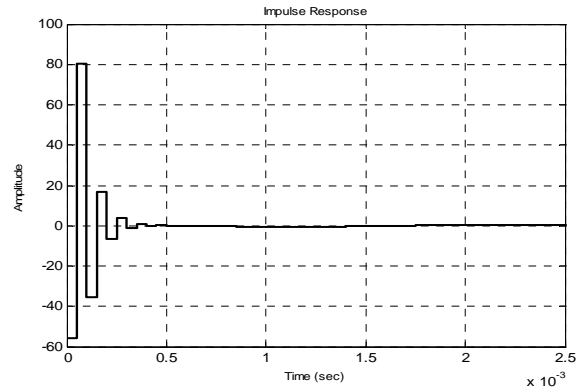


Fig. 10 – Diagrama de resposta no tempo para um impulso (delta de Dirac) de ruído para a saída do controlador no projeto do PID discreto desta secção.

É observado que:

- O tempo de subida não está de acordo com o projetado;
- O máximo de sobre sinal também não está de acordo com o projetado;
- O controlador também é um amplificador de ruídos. Existe uma amplificação da ordem de 30dB (aprox. 31 vezes o sinal de ruído na entrada da re-alimentação, para a frequência de 3000rad/s ~ 477,465Hz)
- Os zeros do controlador influenciam na resposta desejada, causando divergência no resultado esperado equação (22);

VII. MÉTODO DE POSICIONAMENTO DE PÓLOS PARA O FILTRO SALLÉN-KEY DE SEGUNDA ORDEM – CANCELAMENTO DO EFEITO DOS ZEROS DO CONTROLADOR

No controlador por posicionamento de pólos, na forma RST, é desejado que o polinômio de malha fechada possua os pólos dominantes especificados no projeto. No exemplo anterior, os zeros do controlador afetam a dinâmica de malha fechada, causando a redução no resultado desejado de malha fechada.

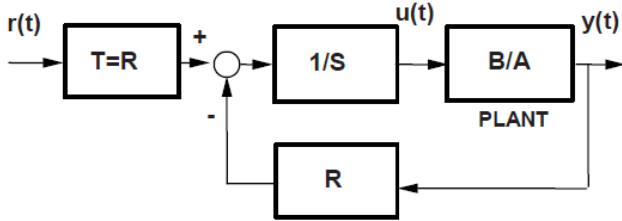


Fig. 11 – Estrutura do controlador por posicionamento de pólos RST.

A Função de transferência $G_{\text{desejado}}(z)$, apresenta os pólos de malha fechada (15) que devem ser posicionados pela estrutura do controlador RST, e estes devem ser dominantes com relação aos pólos adicionais.

Para que o sistema em malha fechada apresente ganho unitário em regime permanente, é necessário que:

$$H_{\text{Malha fechada}}(z^{-1}) = \frac{B(z^{-1})T(z^{-1})}{P(z^{-1})} = \quad (29)$$

$$= \frac{B(z^{-1})}{P(z^{-1})} \cdot \frac{P(1)}{B(1)} = \frac{B(z^{-1})}{P(z^{-1})} \cdot \frac{B(1)R(1)}{B(1)}$$

$$T(z^{-1}) = R(1) \quad (30)$$

Logo, para o cálculo do filtro T, é necessário que este seja igual à soma dos termos do filtro R. Os zeros da planta são mantidos, sem a adição dos zeros do controlador.

É empregado o uso de dois pólos auxiliares para compor o polinômio $P(z^{-1})$, de forma que eles não sejam dominantes ao sistema, e que minimizem o efeito de amplificação de ruído causado pelo ramo R, como apresentado na Fig. 12.

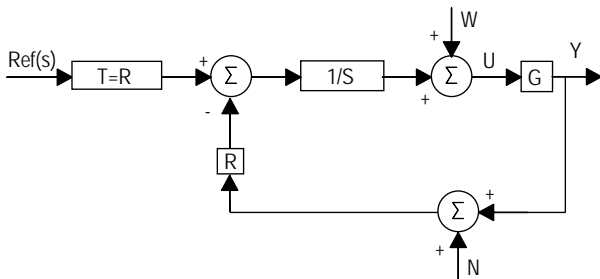


Fig. 12 – Estrutura do controlador por posicionamento de pólos RST, com introdução aos ruídos de amostragem - $N(z^{-1})$, e ruído de sinal de controle - $W(z^{-1})$.

A função de transferência do sinal de controle $U(z^{-1})$ pelo Ruído - $N(z^{-1})$, é apresentada na equação (31).

$$\frac{U}{N}(z^{-1}) = \frac{-R(z^{-1})}{S(z^{-1}) + R(z^{-1})G(z^{-1})} \quad (31)$$

É observado que o filtro R impacta diretamente no ruído da amostragem, e, depende diretamente da alocação dos pólos adicionais.

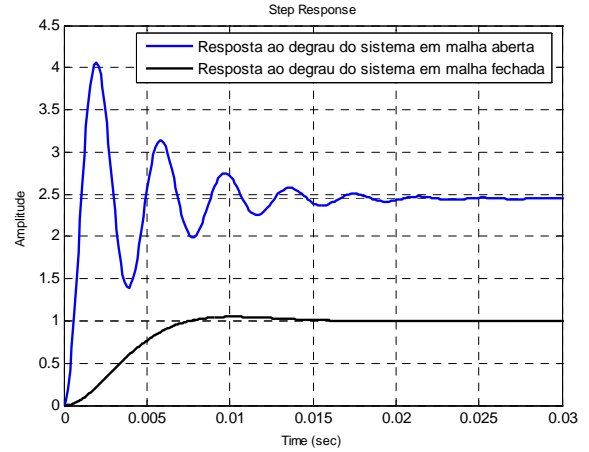


Fig. 13 – Resultados de simulação para o controlador PID discreto. A Forma de onda de azul representa a resposta do sistema em malha aberta e de preto a saída do sistema em malha fechada para entrada do tipo degrau.

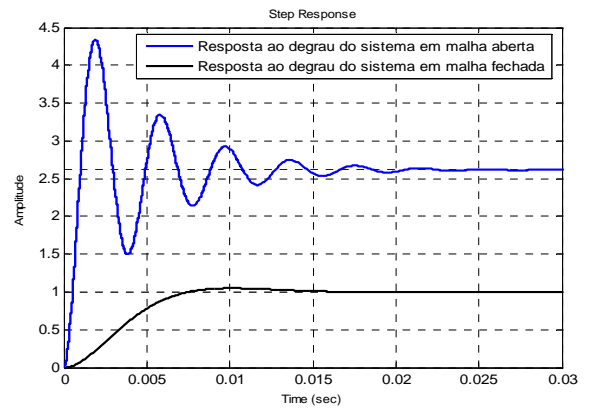


Fig. 14 – Resultados de simulação para o controlador PID discreto, para o modelo da planta obtido através da ferramenta *ident*. A Forma de onda de azul representa a resposta do sistema em malha aberta e de preto a saída do sistema em malha fechada para entrada do tipo degrau.

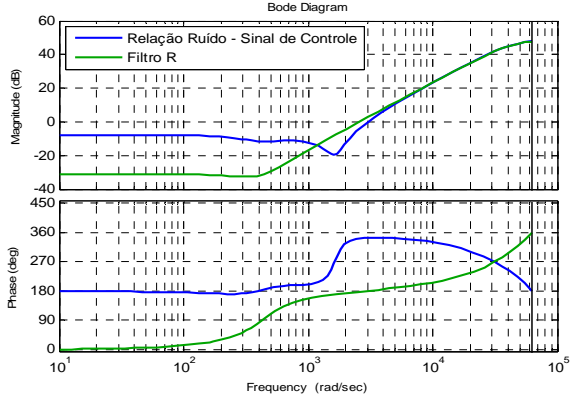


Fig. 15 – Diagrama de resposta em frequência para a relação U/N (ruído – saída do controlador), e resposta em frequência do filtro digital $R(z^{-1})$ para o projeto do PID discreto desta seção.

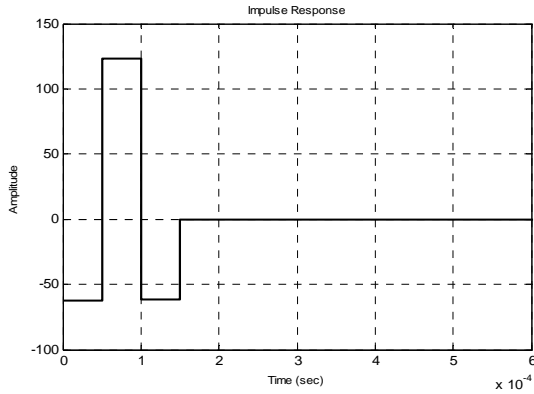


Fig. 16 – Diagrama de resposta no tempo para um impulso de ruído para a saída do controlador no projeto do controlador por posicionamento de pólos com cancelamento dos zeros do controlador desta seção.

A investigação do efeito do controlador RST é necessária, pois na realização do controlador em processadores com ponto fixo, irá ocorrer amplificação dos sinais quantizados, e dos erros de aproximação numérica realizados nas operações de multiplicação, soma e divisão do algoritmo que possibilita a construção do controlador.

É observado que, para a resposta ao degrau, o primeiro controlador PID tente amplificar na ordem de 20 vezes o degrau, enquanto que o posicionador de pólos RST, amplifica 60 vezes a transição de sinal.

Isto significa que em um processador, com resolução de 10bits (considerando 1bit de sinal, e os outros 9bits a magnitude do sinal), *signed fractional*, em formato Q0.15, cuja resolução de 1bit possui o peso de uma fração $1/(2^{15})$, e que o bit menos significativo do AD represente a fração $(2^6)/(2^{15}) = 0,001953p.u = 0,1953\%$, com o efeito do filtro, a transição de apenas um bit no AD, irá impactar na amplificação em até $0,1953\% \times 60 = 11,71\%$ no sinal introduzido na entrada da planta.

Para o PID convencional, o valor da transição de um bit reflete em até $0,1953\% \times 20 = 3,9\%$ de ruído introduzido no sinal de controle da planta.

O efeito que este controlador ocasiona é percebido através da simulação apresentada nas próximas seções.

VIII. MÉTODO DE POSICIONAMENTO DE PÓLOS COM RASTREAMENTO E REGULAÇÃO INDEPENDENTES PARA O FILTRO SALLEN-KEY DE SEGUNDA ORDEM

Uma vez que o filtro R apresenta características indesejadas que devam ser suprimidas, então uma forma mais geral do controlador sob o formato RST deve ser analisada, para possibilitar modificar os polinômios R, S e T, de forma independente, mantendo as características desejadas de rastreamento e rejeições de perturbação.

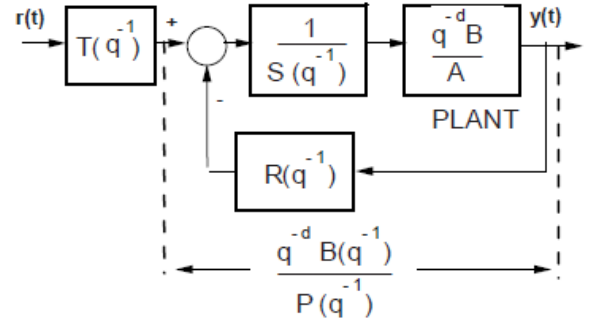


Fig. 17 – Diagrama de malha fechada para o posicionamento de pólos com o controlador RST [1].

Considere a relação de malha fechada, com a introdução do atraso característico da planta (termo z^{-d}):

$$H_{MF}(z^{-1}) = \frac{z^{-d}T(z^{-1})B(z^{-1})}{A(z^{-1})S(z^{-1}) + z^{-d}B(z^{-1})R(z^{-1})} = \frac{z^{-d}B(z^{-1})T(z^{-1})}{P(z^{-1})} \quad (32)$$

Os polinômios $R(z^{-1})$ e $S(z^{-1})$ e devem ser computados de acordo com a identidade de *Bezout*, uma vez que o polinômio $P(z^{-1})$ é conhecido e determinado com base nas características desejadas de malha fechada, e, sendo o produto de dois polinômios:

$$P(z^{-1}) = P_D(z^{-1})P_F(z^{-1}) \quad (33)$$

Onde $P_D(z^{-1})$ e $P_F(z^{-1})$ definem os polinômios com os pólos desejados de malha fechada e de filtragem, respectivamente.

Os termos pré-fixados, $R(z^{-1})$ e $S(z^{-1})$ devem ser fatorados sob o formato:

$$R(z^{-1}) = R'(z^{-1})H_R(z^{-1}) \quad (34)$$

$$S(z^{-1}) = S'(z^{-1})H_S(z^{-1}) \quad (35)$$

Onde, $H_R(z^{-1})$ e $H_S(z^{-1})$ são polinômios pré-especificados com as características de filtragem desejados. Realizando a expansão da expressão (32):

$$H_{CL}(z^{-1}) = \frac{z^{-d}T(z^{-1})B(z^{-1})}{A(z^{-1})S'(z^{-1})H_S(z^{-1}) + z^{-d}B(z^{-1})R'(z^{-1})H_R(z^{-1})} = \frac{z^{-d}B(z^{-1})T(z^{-1})}{P(z^{-1})} \quad (36)$$

Assim, a equação a ser resolvida é dada pela identidade de

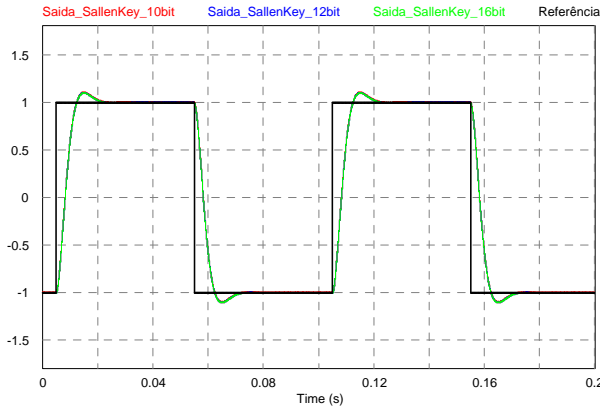


Fig. 19 – Resultado de saída da planta empregando o controlador RST para diferentes resoluções do conversor A/D realizado na simulação apresentada na Fig. 18, de vermelho é apresentada a saída do filtro SallenKey para um AD de 10bits, de azul, 12 bits, e de verde, 16bits, em escuro está a referência que a planta deverá seguir.

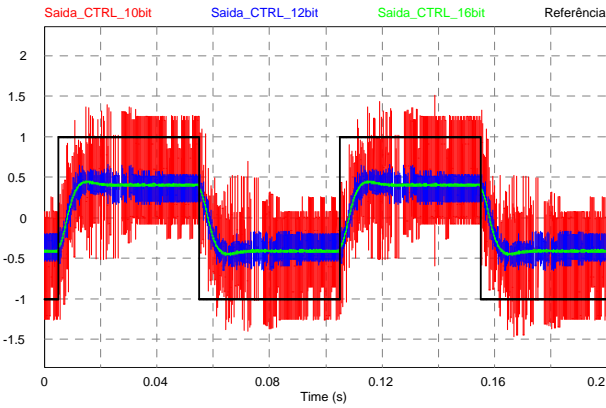


Fig. 20 – Resultado de saída do controlador RST para diferentes resoluções do conversor A/D realizado na simulação apresentada na Fig. 18, de vermelho é apresentada a saída do controlador para um AD de 10bits, de azul o conversor apresenta 12 bits, e de verde, 16bits, em escuro está a referência que a planta deverá seguir.

Através da Fig. 19, é possível observar que a planta segue a referência de acordo com o projetado e não há a inclusão dos zeros do controlador. Mesmo com valores distintos de resolução do conversor analógico-digital, o sistema aparenta operar de forma coerente em malha fechada. Entretanto, na Fig. 20, é evidenciado o efeito da alocação dos pólos adicionais na origem e sem o filtro adicional $H_R(z^{-1})$.

Alocando os pólos adicionais de projeto, ambos em 0,5, aprimora a rejeição ao ruído de aquisição e de quantização, e, com a inclusão do filtro:

$$H_R(z^{-1}) = 1 + z^{-1} \quad (49)$$

A versão com os filtros R, S e T já calculados através da expressão (48), é visualizada na Fig. 21.

Controlador PID-RST Para o Modelo Calculado. Tr = 5ms, MaxOver = 5% 5% => $1V \cdot 5/1000 \Rightarrow 50mV$

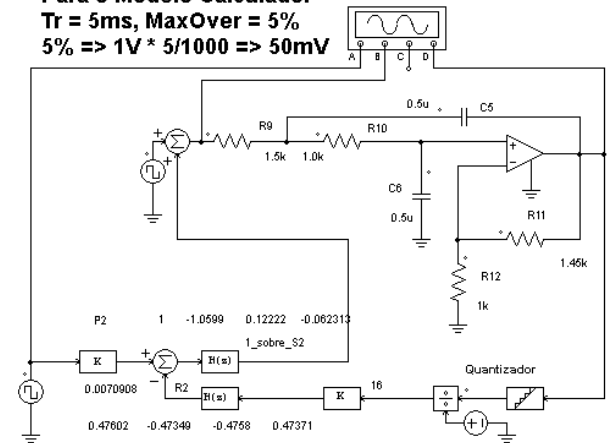


Fig. 21 – Diagrama do controlador RST realizado em ambiente PSIM para inspeção dos efeitos do ruído de quantização e operação com ponto flutuante, com a introdução do filtro $H_R(z^{-1})$. Observar o incremento da ordem dos filtros R e S em comparação com o caso anterior, e a inclusão de uma perturbação na entrada da planta.

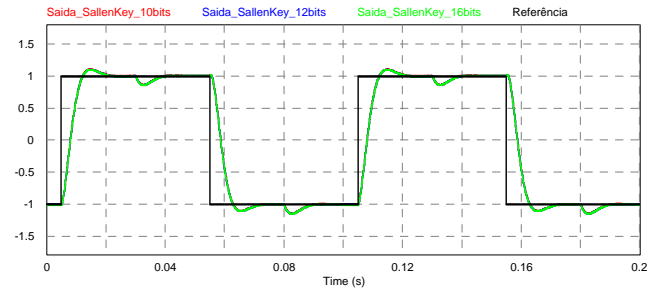


Fig. 22 – Resultado de saída da planta empregando o controlador RST para diferentes resoluções do conversor A/D realizado na simulação apresentada na Fig. 21, de vermelho é apresentada a saída do filtro SallenKey para um AD de 10bits, de azul, 12 bits, e de verde, 16bits, em escuro está a referência que a planta deverá seguir.

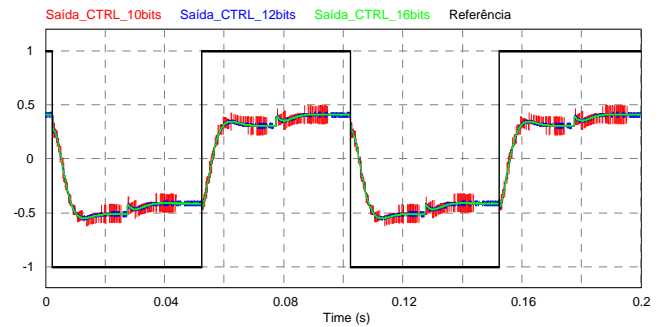


Fig. 23 – Resultado de saída do controlador RST para diferentes resoluções do conversor A/D realizado na simulação apresentada na Fig. 21, de vermelho é apresentada a saída do controlador para um AD de 10bits, de azul o conversor apresenta 12 bits, e de verde, 16bits, em escuro está a referência que a planta deverá seguir.

Como é observado, o posicionamento adequado dos pólos adicionais, e da especificação do filtro H_R , possibilitam minimizar os efeitos da quantização do conversor AD sem a perda das características dos pólos projetados para as características desejadas da resposta no tempo.

X. CONCLUSÃO

Este trabalho apresenta uma visão do controlador por posicionamento de pólos RST, comparando-o com o controlador PID clássico. É verificado que este formato de controlador possibilita o cancelamento de alguns efeitos indesejados que a estrutura convencional apresenta, a saber: Adição dos zeros do controlador a função de transferência em malha fechada, interdependência das características de regulação e rastreamento. Também é discutida uma metodologia que aprimora e estende o efeito do controlador RST para sistemas de qualquer ordem, incluindo filtros adicionais H_R e H_S objetivando aprimorar ou suprimir algumas características indesejadas do sistema em malha fechada. Os resultados foram obtidos em ambiente PSIM® e o equacionamento do posicionamento de pólos foi elaborado em ambiente MATLAB®.

AGRADECIMENTOS

Gostaria de agradecer ao IFCE – Instituto Federal do Ceará – Campus Maracanaú por disponibilizar tempo para que o autor possa realizar esta disciplina.

APÊNDICE A – CÓDIGO FONTE DE UM CONTROLADOR RST ELABORADO EM MATLAB.

```
clear;
clc;
close all;

Ts = 5e-05;    % Valor obtido da planta (neste caso com auxilio
do osciloscópio

% Discretiza o modelo da planta
R1 = 1e3;
R2 = 1.5e3;
R3 = 1e3
R4 = 1.45e3;
C1 = 0.5e-6;
C2 = 0.5e-6;

Wn = sqrt(1/(C1*C2*R1*R2));
Kg = 1+(R4/R3);
ksi = ((1/(C2*R2))+1/(C2*R1))+((1-Kg)/(C1*R1)))/(2*Wn);

G = tf([Kg*(Wn^2)], [1 2*Wn*ksi Wn^2]);

Gd = c2d(G,Ts,'zoh');

[B,A] = tfdata(Gd, 'v');

% Especificações de projeto
Rise_time = 5e-3;
Max_over = 5;    % 5 por cento de sobre-sinal

% Introduzir as características de Wo e de amortecimento

[Wo, dmp]=omega_dmp(Rise_time,Max_over);
D = tf([Wo^2], [1 2*Wo*dmp Wo^2]);
Dd = c2d(D, Ts, 'zoh');
[Num,P]=tfdata(Dd, 'v');
aux = roots(P);
% extrai os polos de P e inclui os 2 polos adicionais
% 0.5 e 0.5
Pd = poly([aux(1) aux(2) 0.5 0.5]);
```

% Construção da matriz M

```
b1 = B(2);
b2 = B(3);
a1 = A(2);
a2 = A(3);

a11 = (a1-1);
a21 = (a2-a1);
a31 = (-a2);

M = [1 0 0 0 0;
     a11 1 b1 0 0;
     a21 a11 b2 b1 0;
     a31 a21 0 b2 b1;
     0 a31 0 0 b2];
x = inv(M) * Pd';
R = [x(3) x(4) x(5)]
S = [1 (x(2)-1) -x(2) ]
T = R;
%T = sum(R)
```

```
%Hnoise = tf([conv(B,S)], [conv(conv(A,S)+conv(B,R),A)],Ts)
Gcontrolador = tf(R,S,Ts)
Hnoise2 = tf(-1*[conv(A,R)], [conv(A,S)+conv(B,S)], Ts);
```

```
figure, bode(Hnoise2, Gcontrolador);
legend('Relação Ruído - Sinal de Controle', 'Controlador PID');
grid;
h = findobj(gcf,'type','line');
set(h,'linewidth',2);
h = findobj(gcf,'type','axes');
set(h,'FontSize',10, 'XColor', [0,0,0], 'YColor', [0,0,0]);
```

```
% Resposta ao degrau no ruído da planta
figure, step(Hnoise2,'k');
grid;
h = findobj(gcf,'type','line');
set(h,'linewidth',2);
h = findobj(gcf,'type','axes');
set(h,'FontSize',10, 'XColor', [0,0,0], 'YColor', [0,0,0]);
```

```
% Resposta ao impulse no ruído da planta
figure, impulse(Hnoise2,'k');
grid;
h = findobj(gcf,'type','line');
set(h,'linewidth',2);
h = findobj(gcf,'type','axes');
set(h,'FontSize',10, 'XColor', [0,0,0], 'YColor', [0,0,0]);
```

```
% Resposta ao degrau em malha fechada
Hcl = tf([conv(B,T)], [conv(A,S)+conv(B,R)], Ts);
figure, step(G,Hcl, 'k');
legend('Resposta ao degrau do sistema em malha aberta', 'Respos
ta ao degrau do sistema em malha fechada');
grid;
h = findobj(gcf,'type','line');
set(h,'linewidth',2);
h = findobj(gcf,'type','axes');
set(h,'FontSize',10, 'XColor', [0,0,0], 'YColor', [0,0,0]);
```

REFERÊNCIAS

- [1] Landau, Ioan D., Zito, Gianluca, “*Digital Control Systems – Design, Identification and Implementation*”. Springer Verlag, 1st Edition, London, UK, 2006.
- [2] Ostertag, Eric, Godoy, Emmanuel, “RST-Controller Design for Sinewave References by Means of an Auxiliary Diophantine Equation”. Proc., 44th IEEE Conference on Decision and Control, and The European Control Conference, 2005.